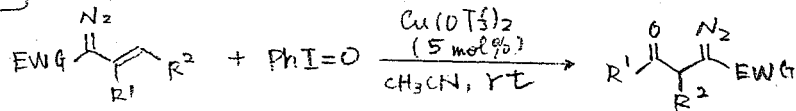
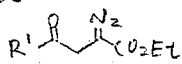


Scope



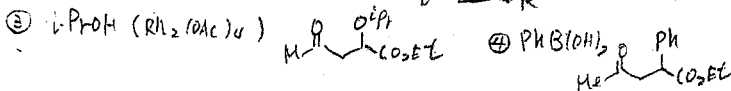
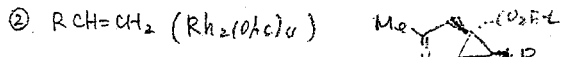
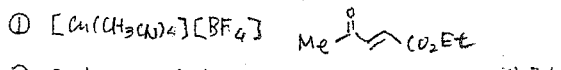
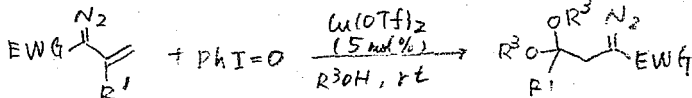
Product



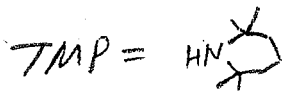
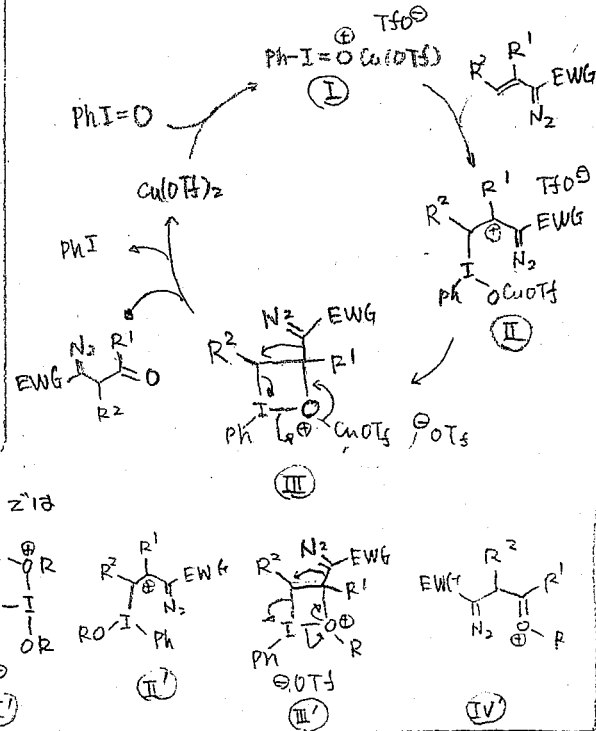
$R^1 = \text{Me}$  (92%),  $R^1 = \text{H}$  (85%)  
D (75%)

$R^2$  が  $\text{CO}_2\text{Et}$  かつ末端が 2 置換  $\Rightarrow$  NR

この反応を 3113-14 中 2 行目



Mechanism



CT1Y04

"Synthesis of BN-Fused Polycyclic Aromatics via Tandem  
Intramolecular Electrophilic Arene Borylation"  
Hatakeyama, T.\*; Hashimoto, S.; Seki, S.\*; Nakamura, M.\*  
J. Am. Chem. Soc. ASAP (doi: ja208950c).

\*芳香族化合物の  
 $\text{C}=\text{C}$  と  $\text{B}=\text{N}$  (等電子)

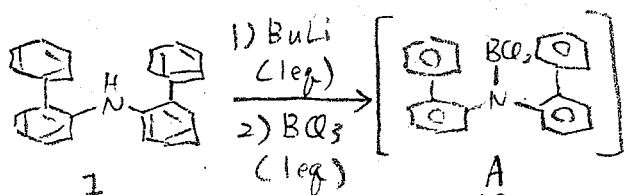
で置換した ex. (1,2-aza borine)

Dewar et al. J. Chem. Soc. (1958)

分子の双極子モーメントに変化。

$\Rightarrow$  溶解性, 物理化学的性質の変化に  
対する興味。

< This Work >

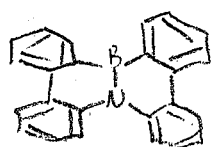


$\text{AlCl}_3$  (4 eq)

TMP (1.5 eq)

ODCB

150°C, 12h

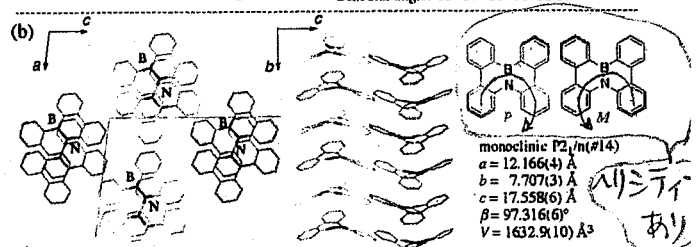
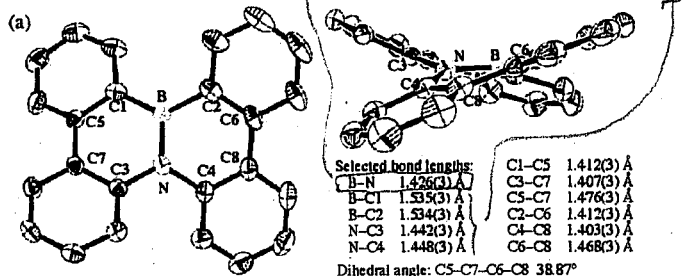


67%

\* Lewis acid の  
( $\text{AlCl}_3$ ,  $\text{GaCl}_3$ ,  
 $\text{Zn}(\text{OTf})_2$ )  
は X。

Youhei Takeda

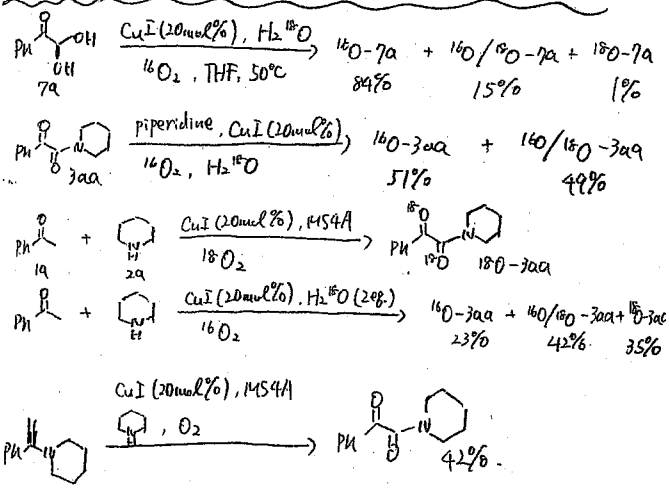
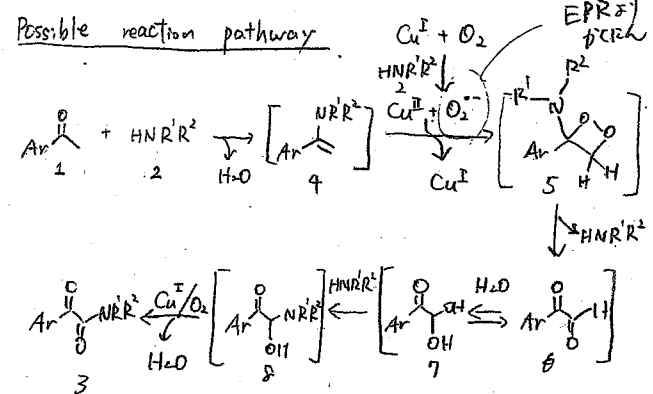
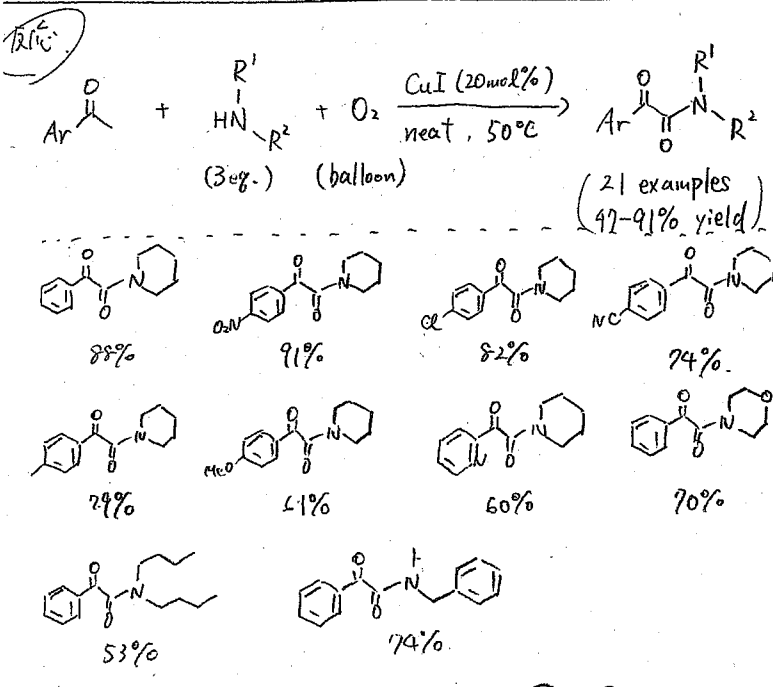
二重結合性あり  
(of B-N bond in BN-fus  
は 1.45 ~ 1.6 Å)  
単結合



\* TRMC (time-resolved microwave conductivity) 法

二重結合性あり  
hole 移動度:  $0.07 \text{ cm}^2 \text{ V}^{-1} \text{ s}^{-1}$   
(cf. rubrene =  $0.05 \text{ cm}^2 \text{ V}^{-1} \text{ s}^{-1}$ )  
dibenzo chrysenes =  $0.007 \text{ cm}^2 \text{ V}^{-1} \text{ s}^{-1}$ )

\* 溶解性 (AcOEt に対して)  
7.7 mg/ml. (dibenzo chrysenes = 5.0 mg/ml)



**Enantioselective Synthesis of Endohedral Metallofullerenes**

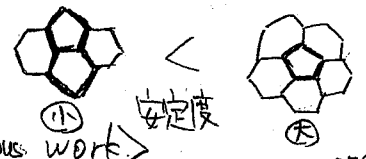
Nasario, Martin, Takeshi Akasaka, Shigeru Nagase et al. JACS. ja 2062727

**Endohedral Metallofullerene**

⇒ 16 Å 以下の金属原子を 75-Å cage 内に 70% 以上入れる

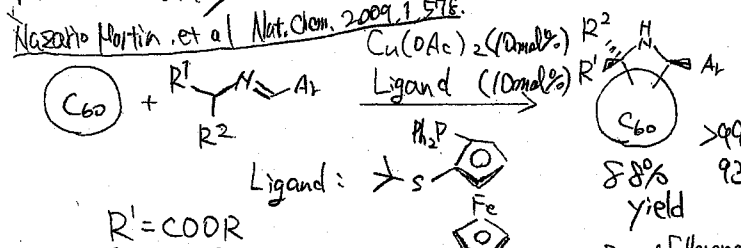
**Isolated-Pentagon-Rule (IPR 則)**

5員環同士が隣接する構造は不安定。 (例外あり)

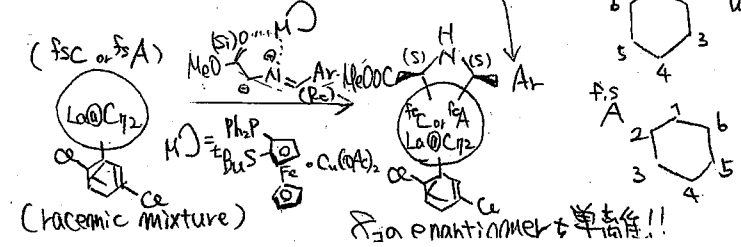


たゞ C<sub>72</sub> だけは 5かゝ!!

**Previous work**



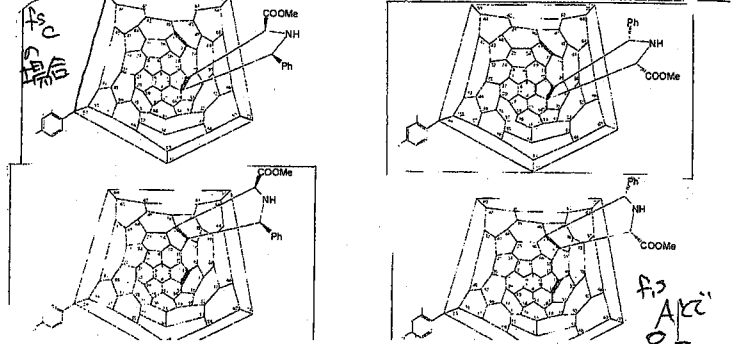
**This work**



⇒ 7-7 放電 ⇒ すまも 1, 2, 4 ⇒ La@C<sub>72</sub>(C<sub>6</sub>H<sub>5</sub>Cl<sub>2</sub>) (ランタンを含む) HPLC で分離抽出

反意 Nature Chemistry の報告と同条件で...  
Sc<sub>3</sub>N@C<sub>80</sub>, La@C<sub>82</sub>, La<sub>2</sub>@C<sub>80</sub> だけ X.  
(理由) HOMO-LUMO の差が...  
La@C<sub>72</sub>(C<sub>6</sub>H<sub>5</sub>Cl<sub>2</sub>) 電子吸引性のための反応が進行

compd	CD enantio		ED enantio				
	yield (660-690)	ratio	yield (660-690)	ratio			
1a	10	(+)	91:3	2a	24	(-)	99:1
1b	10	(-)	94:6	2b	17	(-)	97:3
1c	7	(+)	96:4	2c	13	(+)	95:5
1d	6	(-)	92:8	2d	13	(+)	99:1

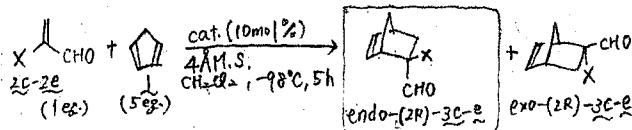
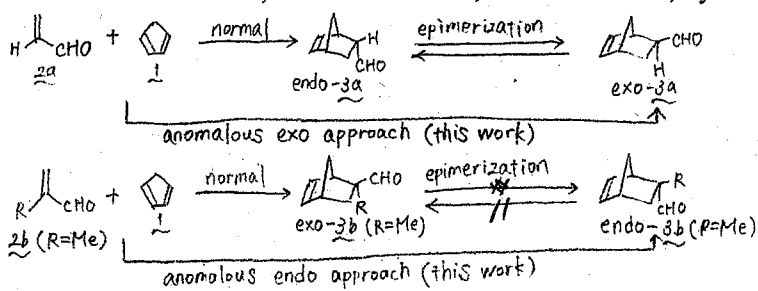




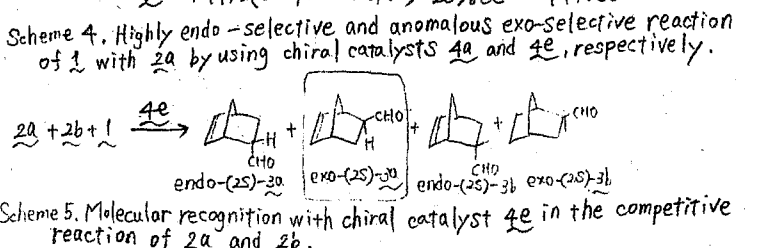
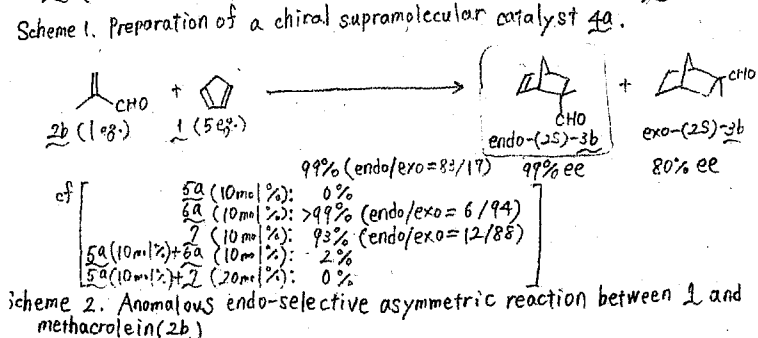
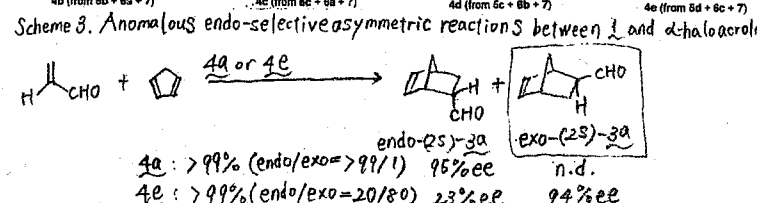
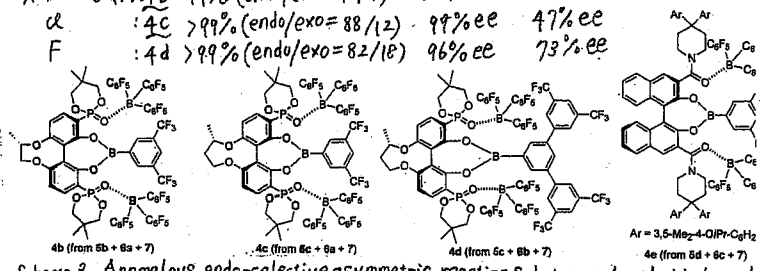
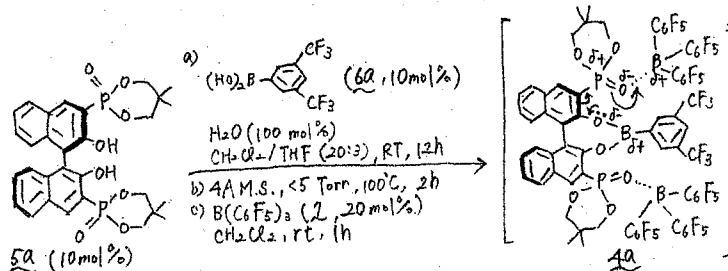
Enantioselective Diels-Alder Reaction with Anomalous endo/exo Selectivities

Using Conformationally Flexible Chiral Supramolecular Catalysts

Manabu Hatano, Tomokazu Mizuno, Atsuto Izumiseki, Ryota Usami, Takafumi Asai, Matsujiro Akakura, and Kazuaki Ishihara\*

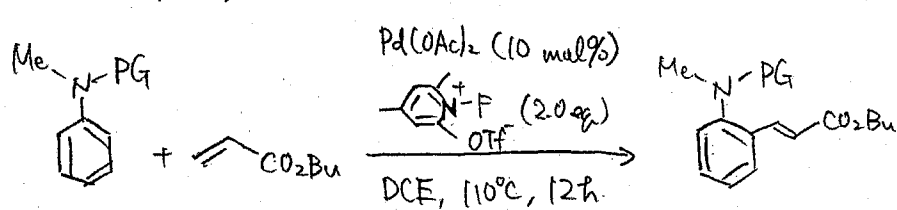


X=Br	cat.: <b>4b</b>	94% (endo/exo=93/7)	>99% ee	76% ee
X=Cl	cat.: <b>4c</b>	>99% (endo/exo=88/12)	99% ee	47% ee
X=F	cat.: <b>4d</b>	>99% (endo/exo=82/18)	96% ee	73% ee

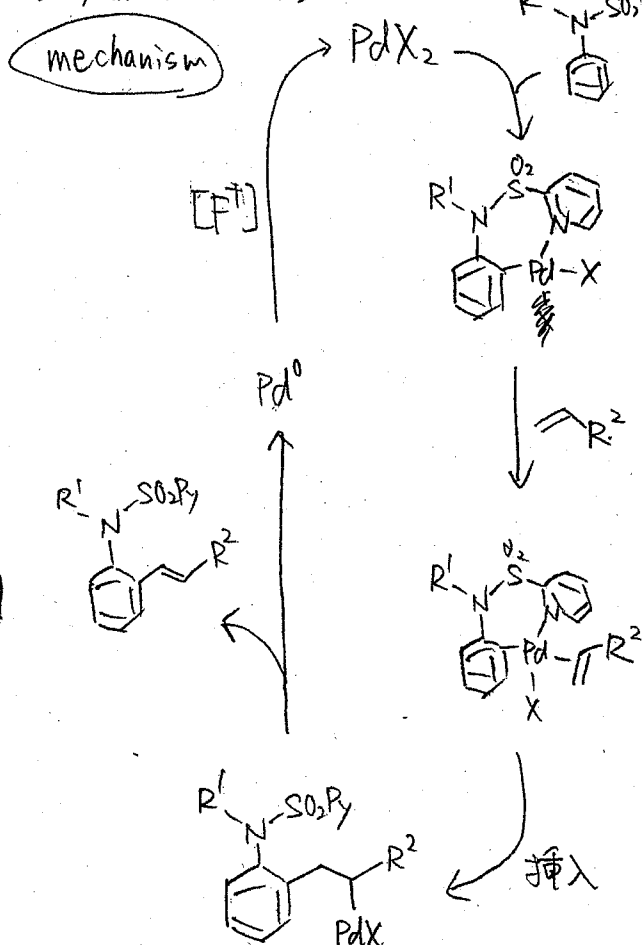
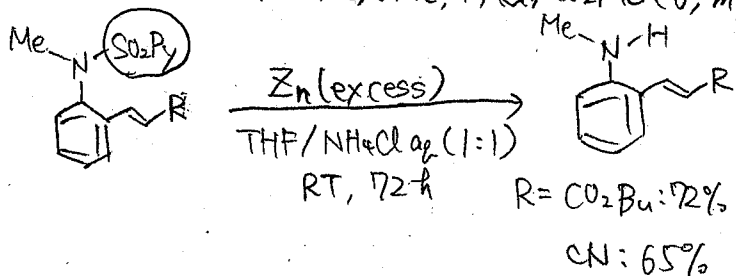
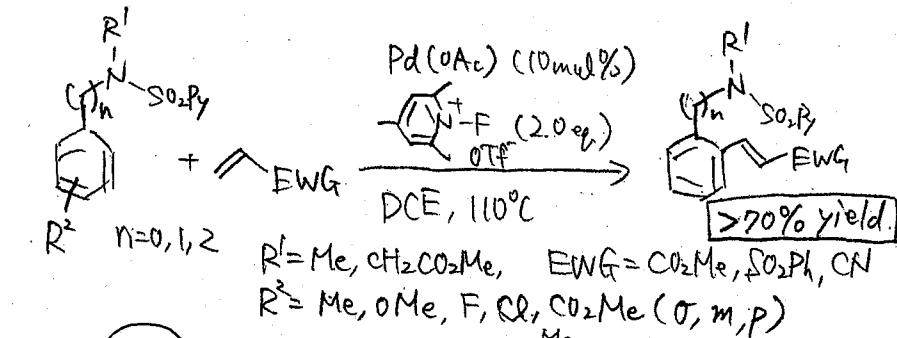


Pd<sup>II</sup>-Catalyzed C-H Olefination of N-(2-Pyridyl)sulfonyl Anilines and Arylalkylamines (Carretero, J. C. et al, ACIE, 10.1002/anie.201105611)

Yuki Ikeda



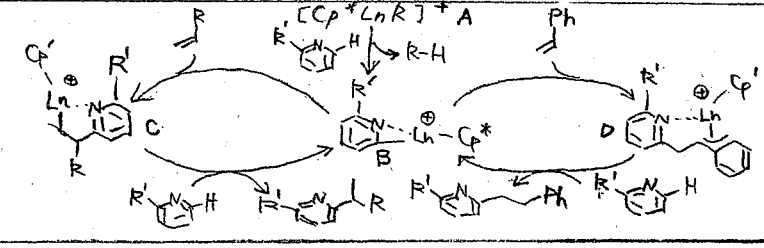
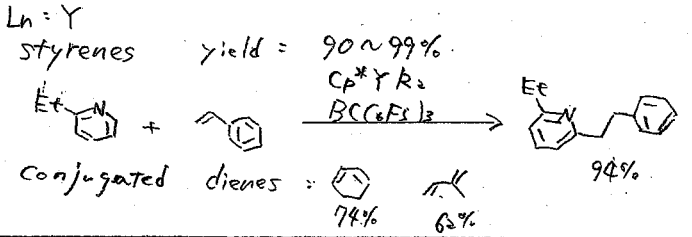
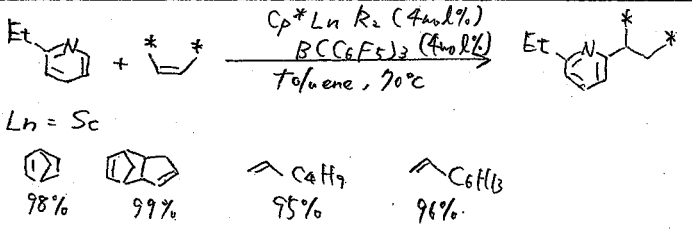
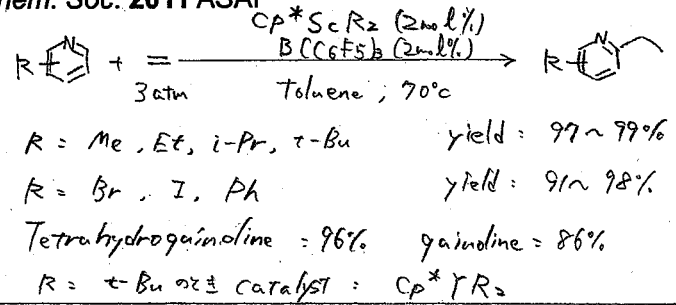
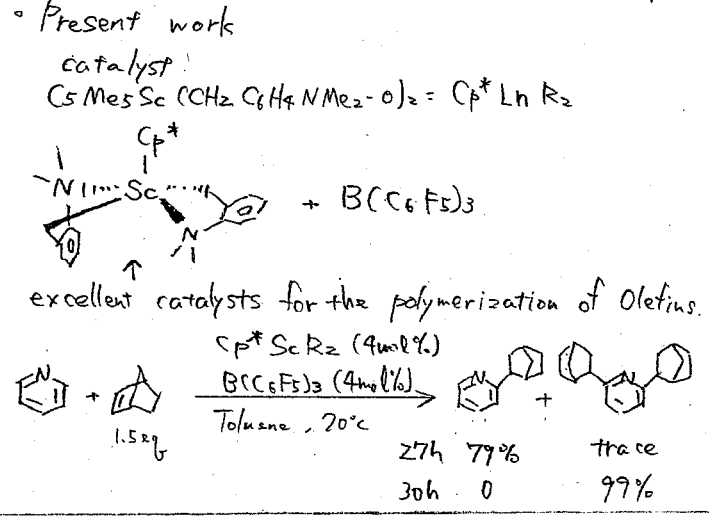
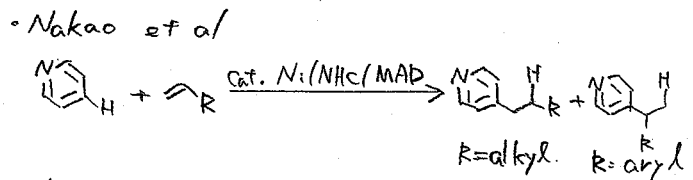
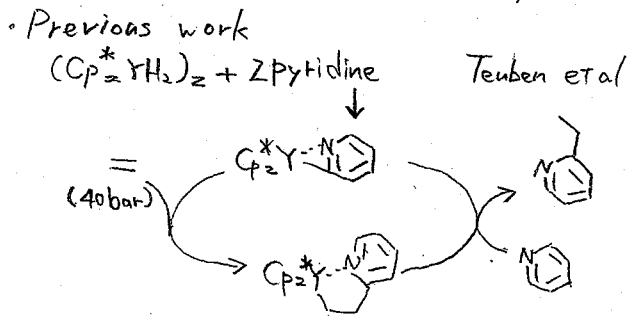
PG = Boc, Ts, p-Ns, (3-pyridyl)SO<sub>2</sub>; no reaction  
(2-pyridyl)SO<sub>2</sub>: 87%



# Rare-Earth-Catalyzed C-H Bond Addition of Pyridines to Olefins

Hou, Z. et al. J. Am. Chem. Soc. 2011 ASAP

M1 Kawai



## Low-k Periodic Mesoporous Organosilica with Air Walls: POSS-PMO

Makoto Seino, \*Wendong Wang, †Jennifer E. Lofgreen, †Daniel P. Puzo, †Takao Morube, and Geoffrey A. Ozin\*, †

JACS. doi.org/10.1021/ja2080136

集積回路... 多数の素子をつまこめたもの。  
 (IC) トランススタ, 抵抗, コンデンサ, コイルなど

### 近年の発展

• IC (主トランジスタ) の微細化・高集積化が進む。

### \*メリット

電子の移動距離が少なくなり、動作速度が向上。

### \*デメリット

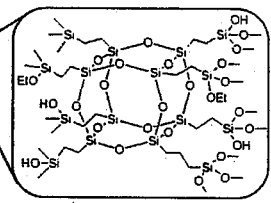
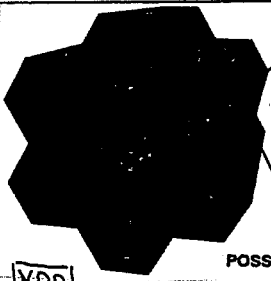
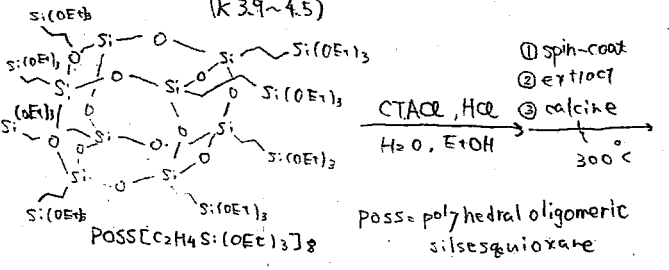
微細化による配線幅が縮小 → 配線の抵抗が上昇、  
 → 配線遅延!! (配線間で電荷を蓄えてしまう)

### 解決策

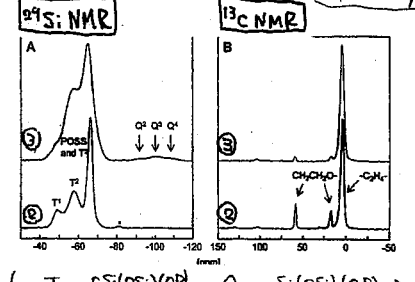
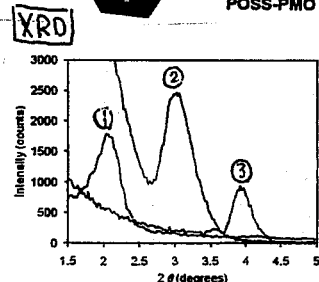
• 配線間の絶縁膜を低誘電率 (Low-k) なものに。  
 $k < 2.2$  のものは良いとされる。

### 今日の仕事

一般的な絶縁膜  $SiO_2 \rightarrow$  POSS-PMO にする。



物性評価  
 → XRD, TEM,  $^{29}Si$  NMR,  $^{13}C$  NMR, IP, TGA, EP, SAWS\*  
 \* EP = ellipsometric porosimetry  
 SAWS = surface acoustic wave spectroscopy



①②③へ処理程度に細孔が小さくなる。  
 縮合反応が促進されている。  
 ②のピークが小さい  
 Poss由来の穴が増え、全体として不規則性。  
 $T_1 = Si(OSi)_2OR$   
 $T_2 = Si(OSi)_3OR$   
 $T_3 = Si(OSi)_4$   
 $(R = H \text{ or } Et)$   
 $Q_2 = Si(OSi)_2(OP)_2$   
 $Q_3 = Si(OSi)_3OR$   
 $Q_4 = Si(OSi)_4$   
 $T_3 \rightarrow$  介孔材料  
 • 主基基が②→③へ消失 縮合している。

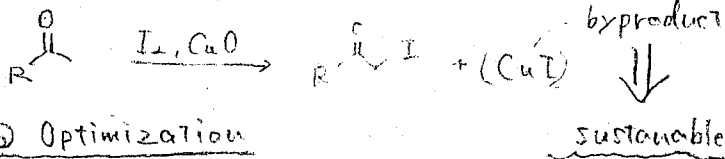
sample	Porosity (%)	介孔率 [EP] (GPa)	[SAWS]	k
POSS-PMO film	29.0 ± 2.3	2.66 ± 0.39	330 ± 0.4	1.73 ± 0.05
POSS-film	4.40 ± 0.5	—	29.6 ± 3.18	2.03 ± 0.07

介孔率が少ないけれども、良い low-k が得られた。

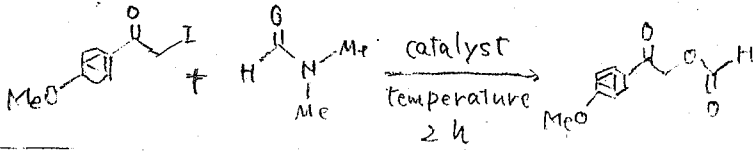
A sustainable byproduct catalyzed domino strategy: facile synthesis of  $\alpha$ -formyloxy and acetoxy ketones via iodination/nucleophilic substitution/hydrolyzation/oxidation sequences

An-Xin Wu et al. Chem Commun. DOI: 10.1039/c4cc5819h B4 楊馬 博

<  $\alpha$ -Iodination of ketones >



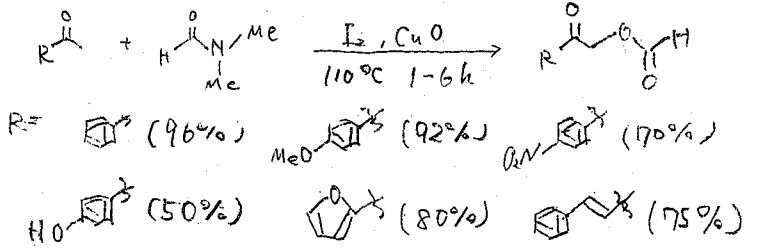
@ Optimization



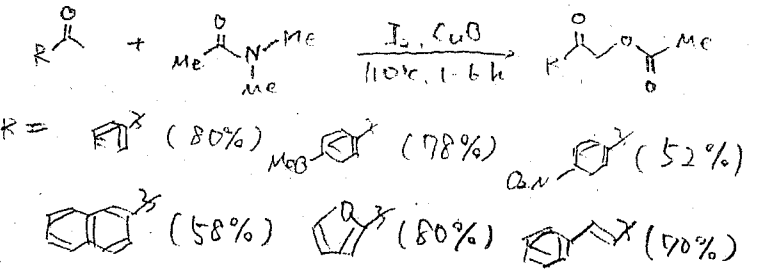
Cat. (equiv)	t (°C)	Yield (%)	Cat. (equiv)	t (°C)	Yield (%)
CuI (1.0)	90	85	PdCl <sub>2</sub> (1.0)	90	< 5
-	90	50	CuI (1.0)	110	95
CuO (1.0)	90	75	CuI (1.0)	130	93
Cu(OAc) <sub>2</sub> (1.0)	90	60	CuI (0.5)	110	<b>96</b>
CuCl (1.0)	90	< 5	CuI (0.31)	110	94
CuBr <sub>2</sub> (1.0)	90	40	CuI (0.1)	110	88

@ Scope

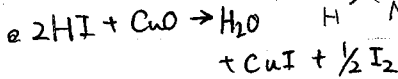
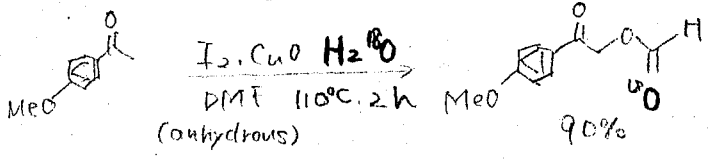
Reaction of ketones and DMF



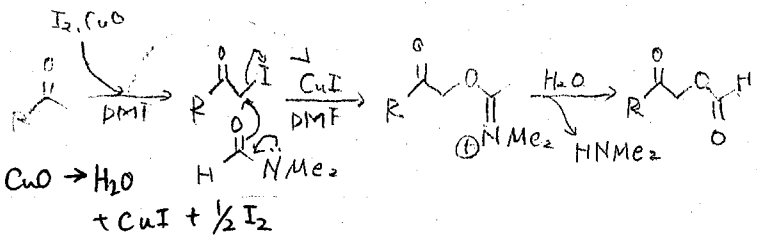
Reaction of ketones and DMA



@ Isotope labeling



@ Reaction Pathway



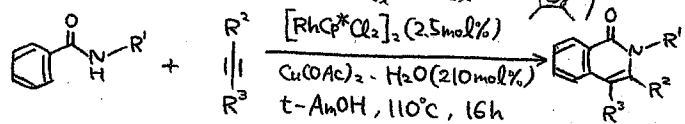
Rhodium(III)-catalyzed oxidative carbonylation of benzamide with carbon monoxide

Ya Du, Todd K. Hyster and Tomislav Rovis\*

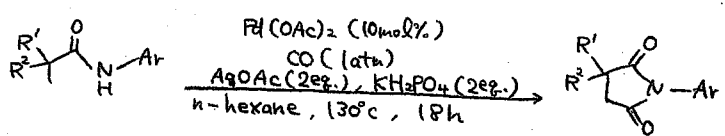
Chem. Commun., 47, 12074 (2011)  
DOI: 10.1039/c1cc15843k

B4 利根

< Previous Work >



Todd K. Hyster and Tomislav Rovis, JACS, 132, 10565 (2010)



Jin-Quan Yu, et al, JACS, 132, 17378 (2010)

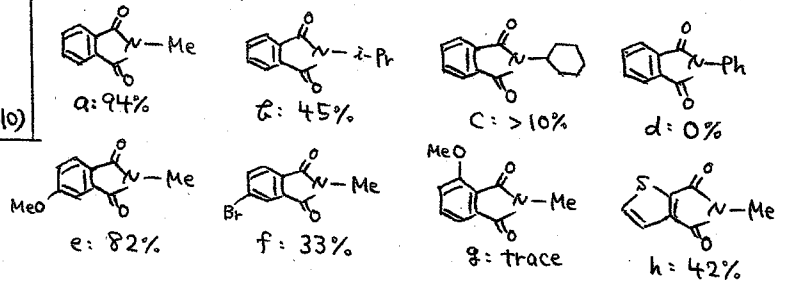
< Optimization >

catalyst: [RhCp\*Cl<sub>2</sub>]<sub>2</sub>, RhCp\*(MeCN)<sub>3</sub>(SbF<sub>6</sub>)<sub>2</sub>, RhCp\*(MeCN)<sub>3</sub>(ClO<sub>4</sub>)<sub>2</sub>

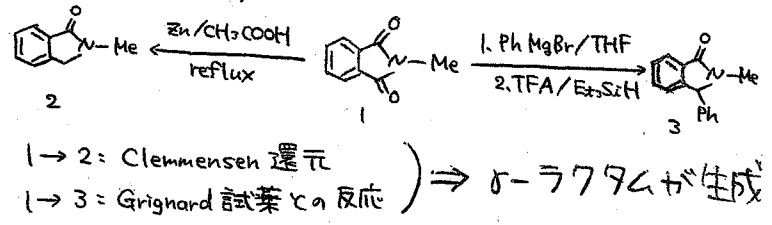
Oxidant: Cu(OAc)<sub>2</sub>, AgOAc, Ag<sub>2</sub>CO<sub>3</sub>

Solvent: Dioxane, DCE, t-AmOH

< Reaction Scope >

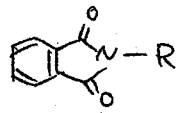
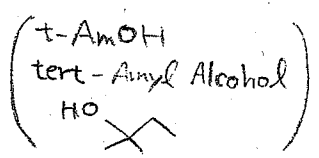
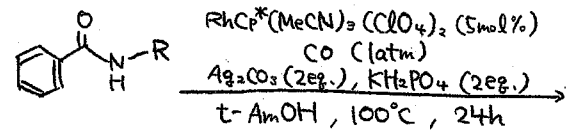


< Synthetic Utility >



< This Work >

様々なアミドとCOを用いる79リトの合成。



1 → 2: Clemmensen 還元  
1 → 3: Grignard 試薬との反応 ⇒  $\delta$ - $\gamma$ 79cが生成